

## บทที่ 2

### หลักการและทฤษฎี

#### 2.1 ตำแหน่งและโอเรียนเตชันของวัตถุ

##### (Position and Orientation of a rigid body)

ในการที่จะบอกถึงวัตถุในพื้นที่ว่าง ว่าอยู่ ณ. พิกัดใด ๆ นั้น สามารถจะกำหนดโดยใช้ตำแหน่งและโอเรียนเตชันของวัตถุภายในโครงสร้างระบบพิกัด เพื่อแสดงตำแหน่งของวัตถุนั้นอยู่ ซึ่งจะสัมพันธ์กับโครงสร้างระบบพิกัดอ้างอิง

พิจารณารูปที่ 1 ให้จุด  $O_0-x_0y_0z_0$  เป็นโครงสร้างระบบพิกัดอ้างอิง โดยที่  $x, y, z$  เป็นเวกเตอร์ 1 หน่วย ของโครงสร้างระบบพิกัดอ้างอิง และตำแหน่งของจุด  $O_1-x_1y_1z_1$  เป็นตำแหน่งของโครงสร้างระบบพิกัดอีกระบบพิกัดหนึ่งบนวัตถุ โดยมีความสัมพันธ์กับโครงสร้างระบบพิกัดอ้างอิง  $O_0-x_0y_0z_0$  ซึ่งสามารถแสดงความสัมพันธ์ได้ดังนี้

$$k = k_x x_0 + k_y y_0 + k_z z_0$$

โดยที่  $k_x, k_y, k_z$  คือ องค์ประกอบของเวกเตอร์  $k$  และสามารถเขียนอยู่ในรูปของเวกเตอร์ (3x1) ได้ดังนี้

$$k = \begin{bmatrix} k_x \\ k_y \\ k_z \end{bmatrix}$$

ในส่วนโอเรียนเตชันของวัตถุ จะพิจารณาโดย โครงสร้างระบบพิกัดทั่วไปที่สัมพันธ์กับวัตถุในรูปของเวกเตอร์ 1 หน่วย ซึ่งจะอ้างอิงไปที่โครงสร้างระบบพิกัดอ้างอิง ให้  $O_1-x_1y_1z_1$  เป็นตำแหน่งของโครงสร้างระบบพิกัดอีกระบบพิกัดหนึ่งบนวัตถุ โดย  $O_1$  คือ

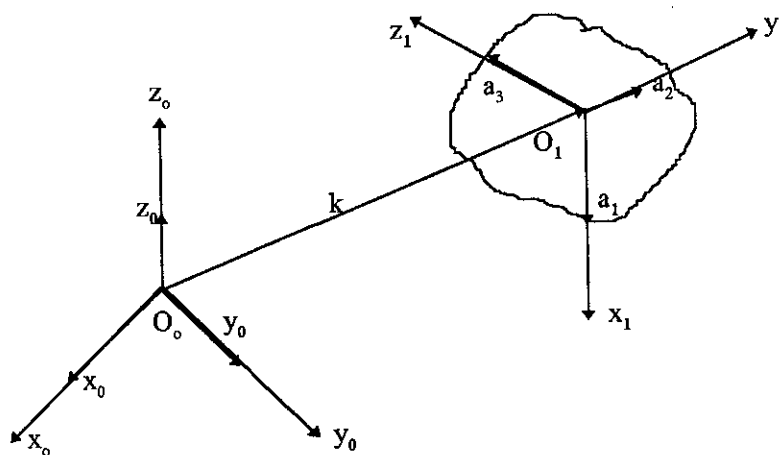
จุดศูนย์กลางของโครงสร้างระบบพิกัด และ  $x_1, y_1, z_1$  คือ เวกเตอร์ 1 หน่วย ของแกนโครงสร้าง โดยสามารถเขียนเวกเตอร์แสดงความสัมพันธ์กับโครงสร้างพิกัดอ้างอิงได้ดังนี้

$$x_1 = a_{1x}x + a_{1y}y + a_{1z}z$$

$$y_1 = a_{2x}x + a_{2y}y + a_{2z}z$$

$$z_1 = a_{3x}x + a_{3y}y + a_{3z}z$$

โดยที่ส่วนประกอบของ เวกเตอร์ 1 หน่วย สามารถจะบอกด้วย cosines ของแกนของโครงสร้างพิกัด  $O_1-x_1y_1z_1$

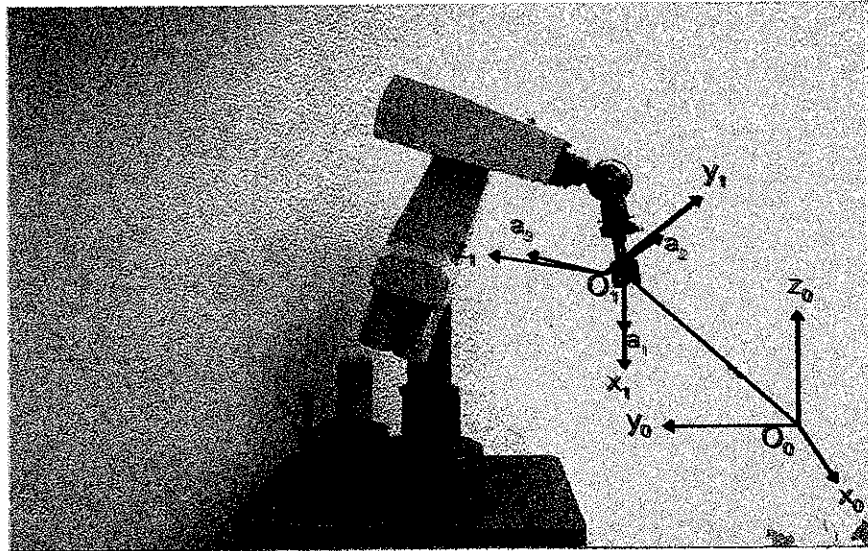


รูปที่ 2.1 แสดงตำแหน่งและโอเรียนเตชันของวัตถุ

## 2.2 การแปลงระบบพิกัดร่วมของหุ่นยนต์

### (Homogeneous Coordinate Transformation of Robot)

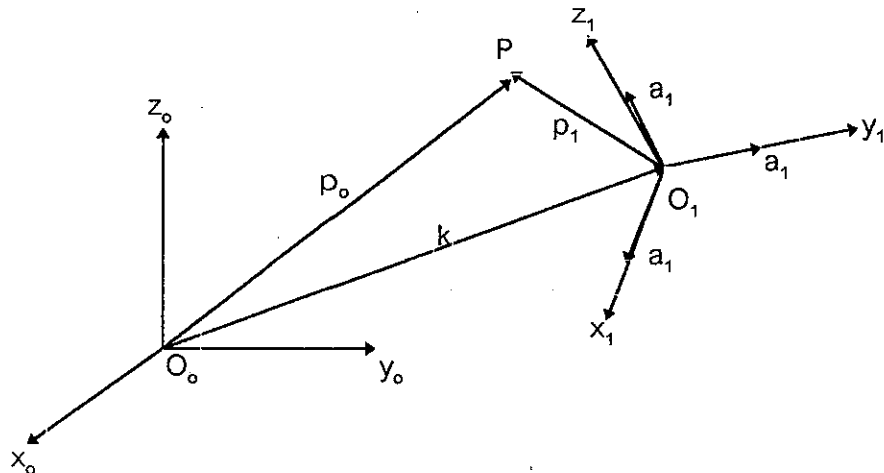
พิจารณารูปที่ 2 จุด  $O_0$  คือฐานโครงสร้างระบบพิกัดอ้างอิง โดยกำหนดให้  $k$  เป็นเวกเตอร์ที่บอกตำแหน่งของระบบพิกัดอื่นและกำหนดให้  $O_1$  เป็นระบบพิกัดอีกระบบพิกัดหนึ่ง ทั้งนี้ เวกเตอร์  $K$  จะบอกเฉพาะตำแหน่งของ  $O_1$  เท่านั้น แต่ในขณะเดียวกันสามารถบอกมุมเพื่อแสดงโอเรียนเตชันที่  $O_1$  อยู่ได้โดยใช้เมตริกซ์  $R$  ซึ่งเป็นเวกเตอร์การหมุน (Rotation Matrix) โดยลักษณะของเวกเตอร์การหมุนของเมตริกซ์  $R$  จะเป็น เมตริกซ์  $3 \times 3$  ซึ่งประกอบด้วยเวกเตอร์ 1 หน่วย ของระบบพิกัด



รูปที่ 2.2 แสดงการอ้างอิงระบบพิกัดฐานและการแปลงระบบพิกัด

Rotation Matrix ( R ) คือ เมทริกซ์ขนาด 3x3 โดยมีแกน x, y, z ซึ่งเป็น  
เวกเตอร์ 1 หน่วย ( $a_1, a_2, a_3$ ) ของระบบพิกัด

$$R = \begin{bmatrix} x_1 & y_1 & z_1 \end{bmatrix} = \begin{bmatrix} a_{1x} & a_{2x} & a_{3x} \\ a_{1y} & a_{2y} & a_{3y} \\ a_{1z} & a_{2z} & a_{3z} \end{bmatrix}$$



รูปที่ 2.3 แสดงระบบพิกัดสัมพันธ์และระบบพิกัดสมบูรณ์

พิจารณารูปที่ 3 จุด P คือระบบพิกัดหนึ่งที่อยู่บนระบบพิกัดอ้างอิง โดยที่  $p_0$  คือ  
เวกเตอร์ของระบบพิกัด จุด P โดยมีความสัมพันธ์กับ โครงสร้างระบบพิกัดอ้างอิง  $O_0-x_0-y_0-z_0$   
และ  $p_1$  คือ เวกเตอร์ของระบบพิกัด จุด P โดยมีความสัมพันธ์กับระบบพิกัด  $O_1-x_1-y_1-z_1$   
ซึ่งสามารถคำนวณได้โดย เวกเตอร์ตำแหน่ง k บวกด้วย  $p_1$  คูณกับเวกเตอร์ การหมุน R

$$p_0 = k + Rp_1$$

Homogeneous Transformation เป็นการแปลงร่วมของการหมุนและการเคลื่อนที่ โดยเป็นลักษณะ Single matrix ซึ่งเป็นการเปลี่ยนตำแหน่ง โดยเฉพาะจากระบบพิกัดหนึ่ง ไปสู่อีกระบบพิกัดหนึ่ง โดยจะเป็นลักษณะเมตริกซ์ 4x4

$$\left[ \begin{array}{cc|c} \text{Rotation matrix} & & \text{Position Vector} \\ \hline \text{Perspective transformation} & & \text{Scaling} \end{array} \right]$$

โดยเมื่อนำมาเขียนในรูปของเมตริกซ์ T (Transformer matrix) จะได้ดังนี้

$$T = \left[ \begin{array}{ccc|c} & R & & k \\ - & - & - & - \\ 0 & 0 & 0 & 1 \end{array} \right]$$

R คือ เมตริกซ์ของการหมุนซึ่งเป็นเมตริกซ์ 3 x 3

k คือ เมตริกซ์ของการแปลงซึ่งเป็นเมตริกซ์ 3 x 1

จากสมการ  $p_0 = k + Rp_1$  เมื่อใช้ Homogeneous Transformer matrix โดยการรวมเวกเตอร์ตำแหน่ง k กับ เมตริกซ์การหมุน R จะได้ตำแหน่งและมุมที่สมบูรณ์ของระบบพิกัดอีกระบบพิกัดหนึ่ง ที่มีความสัมพันธ์กับโครงสร้างระบบพิกัดอ้างอิง เมื่อทำการแปลงระบบพิกัดของจุด P จากระบบพิกัดหนึ่งไปสู่ระบบพิกัดหนึ่ง จะได้

$$\begin{bmatrix} p_{0x} \\ p_{0y} \\ p_{0z} \\ 1 \end{bmatrix} = \begin{bmatrix} a_{1x} & a_{2x} & a_{3x} & k_x \\ a_{1y} & a_{2y} & a_{3y} & k_y \\ a_{1z} & a_{2z} & a_{3z} & k_z \\ 0 & 0 & 0 & 1 \end{bmatrix} * \begin{bmatrix} p_{1x} \\ p_{1y} \\ p_{1z} \\ 1 \end{bmatrix}$$

จากการแปลงร่วมของเวกเตอร์ตำแหน่ง  $k$  กับเวกเตอร์การหมุน  $R$  จะได้ แถวที่ 4 ของเมทริกซ์  $3 \times 4$  มีค่าเท่ากับ 0 และ 1 ทำให้ได้เมทริกซ์  $4 \times 4$

## 2.3 การบอกลักษณะของวัตถุในทางคณิตศาสตร์

### (Mathematics Description of Objects)

ในการบอกลักษณะและตำแหน่งของวัตถุในทางคณิตศาสตร์ สามารถบอกได้โดยใช้ Homogeneous Transformer และการบอกลักษณะของวัตถุล้อมรอบที่อยู่ในรูปของ เมทริกซ์  $4 \times N$  โดยที่  $N$  คือ จำนวนจุดปลายของวัตถุ และจุดปลายของวัตถุจะแสดงได้โดยเวกเตอร์ตำแหน่ง (position Vector) เพื่อให้สามารถเข้าใจตำแหน่งของวัตถุจากตำแหน่งเริ่มแรกไปสู่ตำแหน่งใหม่ ซึ่งสามารถบอกลักษณะของวัตถุในตำแหน่งใหม่ได้จาก การคูณกันระหว่าง Homogeneous Transformer กับลักษณะของวัตถุในตำแหน่งเริ่มแรก ดังสมการ

$$[\text{Object}]_n = T * [\text{Object}]_s$$

$T$  = คือ Transformer matrix

$$T = \left[ \begin{array}{ccc|c} & R & & k \\ - & - & - & - \\ 0 & 0 & 0 & 1 \end{array} \right]$$

$[\text{Object}]_n$  คือ ลักษณะของวัตถุในตำแหน่งใหม่

$$[\text{Object}]_n = \begin{bmatrix} x_{0,n} & x_{1,n} & \dots & x_{N-1,n} \\ y_{0,n} & y_{1,n} & \dots & y_{N-1,n} \\ z_{0,n} & z_{1,n} & \dots & z_{N-1,n} \\ 1 & 1 & \dots & 1 \end{bmatrix}$$

$[\text{Object}]_s$  คือ ลักษณะของวัตถุในตำแหน่งเริ่มแรก

$$[\text{Object}]_s = \begin{bmatrix} x_{0,s} & x_{1,s} & \dots & x_{N-1,s} \\ y_{0,s} & y_{1,s} & \dots & y_{N-1,s} \\ z_{0,s} & z_{1,s} & \dots & z_{N-1,s} \\ 1 & 1 & \dots & 1 \end{bmatrix}$$

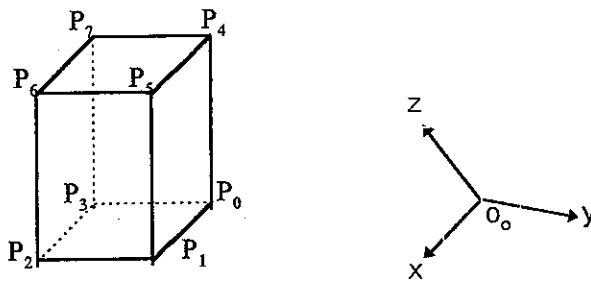
จากสมการข้างต้นสามารถแสดงสมการความสัมพันธ์ได้ดังนี้

$$\begin{bmatrix} x_{0,n} & x_{1,n} & \dots & x_{N-1,n} \\ y_{0,n} & y_{1,n} & \dots & y_{N-1,n} \\ z_{0,n} & z_{1,n} & \dots & z_{N-1,n} \\ 1 & 1 & \dots & 1 \end{bmatrix} = \begin{bmatrix} R & | & k \\ \dots & | & \dots \\ 0 & 0 & 0 & | & 1 \end{bmatrix} * \begin{bmatrix} x_{0,s} & x_{1,s} & \dots & x_{N-1,s} \\ y_{0,s} & y_{1,s} & \dots & y_{N-1,s} \\ z_{0,s} & z_{1,s} & \dots & z_{N-1,s} \\ 1 & 1 & \dots & 1 \end{bmatrix}$$

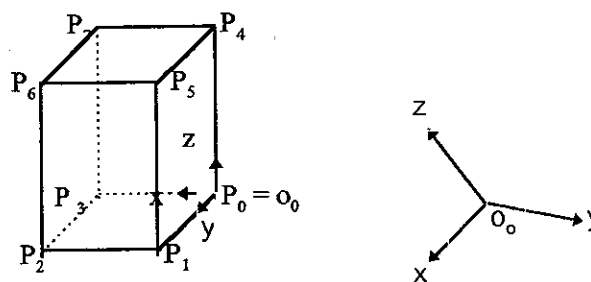
การบอกลักษณะของวัตถุล้อมรอบด้วยเมตริกซ์  $4 \times N$  โดย  $N$  คือ จำนวนจุดปลายของวัตถุ และในแต่ละจุดปลาย สามารถแสดงได้โดย Position vector ซึ่งมีรูปแบบดังนี้

$$\begin{bmatrix} x & y & z & 1 \end{bmatrix}^T$$

โดยที่  $T$  คือ การเคลื่อนย้ายหรือการสลับเปลี่ยน (Transpose)



รูปที่ 2.4 แสดงจุดปลายลูกบาศก์  $P_0 - P_7$  โดยที่ระบบพิกัดไม่ขึ้นอยู่กับลักษณะของลูกบาศก์



รูปที่ 2.5 แสดงจุดปลายลูกบาศก์  $P_0 - P_7$  โดยที่ระบบพิกัดที่กำหนดตามลักษณะของลูกบาศก์, โดยให้จุดกำเนิดคือ  $P_0$



ในการบอกลักษณะของวัตถุเราจะกำหนดจุดกำเนิดของระบบพิกัดวัตถุให้คงอยู่กับที่ พิจารณาจากรูปที่ 5 กำหนดให้ลักษณะของวัตถุเป็นลักษณะลูกบาศก์ โดยมีจุดปลาย  $P_0 - P_7$  ในระบบพิกัด และให้จุดกำเนิดอยู่กับที่ คือ จุด  $P_0$  โดยมีทิศทางในแนวแกน  $x, y, z$  ซึ่ง ลักษณะของวัตถุในแต่ละจุดปลายในรูปของเมตริกซ์ดังนี้

$$P_0 = \begin{bmatrix} 0 & 0 & 0 & 1 \end{bmatrix}^T$$

$$P_1 = \begin{bmatrix} 0 & b & 0 & 1 \end{bmatrix}^T$$

$$P_2 = \begin{bmatrix} a & b & 0 & 1 \end{bmatrix}^T$$

$$P_3 = \begin{bmatrix} a & 0 & 0 & 1 \end{bmatrix}^T$$

$$P_4 = \begin{bmatrix} 0 & 0 & c & 1 \end{bmatrix}^T$$

$$P_5 = \begin{bmatrix} 0 & b & c & 1 \end{bmatrix}^T$$

$$P_6 = \begin{bmatrix} a & b & c & 1 \end{bmatrix}^T$$

$$P_7 = \begin{bmatrix} a & 0 & c & 1 \end{bmatrix}^T$$

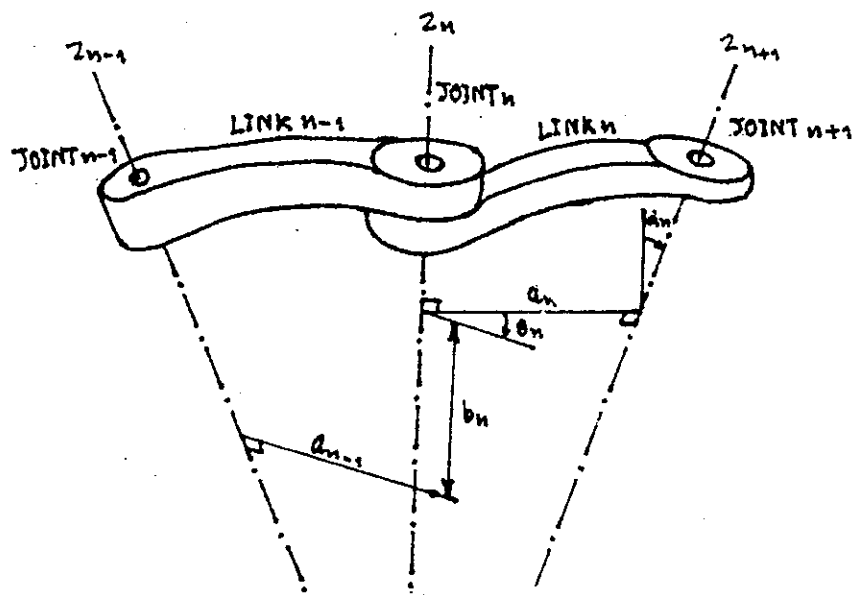
เมื่อนำมาเขียนในรูปของลูกบาศก์ในทางเมตริกซ์จะได้ดังนี้

$$\begin{bmatrix} \text{ลูกบาศก์} \end{bmatrix} = \begin{bmatrix} 0 & 0 & a & a & 0 & 0 & a & a \\ 0 & b & b & 0 & 0 & b & b & 0 \\ 0 & 0 & 0 & 0 & c & c & c & c \\ 1 & 1 & 1 & 1 & 1 & 1 & 1 & 1 \end{bmatrix}$$

## 2.4 การแปลงในแขนกลหลายแกน

### (Transformation Along The Kinematic Chain)

ลักษณะของแขนกลของหุ่นยนต์อุตสาหกรรมจะประกอบด้วย แขน (Link) จุดเชื่อมต่อระหว่างแขน (Joint) ซึ่งเมื่อนำองค์ประกอบทั้งสองมาประกอบเข้ากัน จะได้เป็นลักษณะ ลูกโซ่ ที่เรียกว่า โซ่กล



รูปที่ 2.6 แสดงจุดต่อของแขนกล

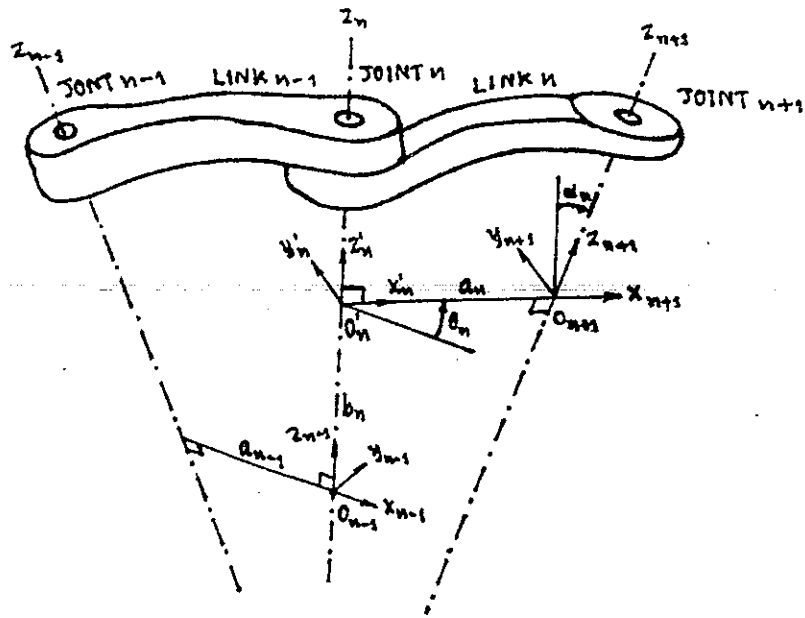
เมื่อพิจารณาจากรูปที่ 6 ถ้าจำนวนของโซ่กล  $n$  จำนวน จะประกอบไปด้วย แขน  $n$  ตัว และจุดเชื่อมต่อระหว่างแขน  $n$  จุด ในการอธิบายความสัมพันธ์ระหว่างส่วนต่าง ๆ ของแขนกล โดยการกำหนดระบบพิกัดในแต่ละจุดต่อของตัวเชื่อม ได้ดังนี้

$a_n$  คือ ระยะห่างระหว่าง  $O_{n+1}$  และ  $O_n$ .

$d_n$  คือ ระยะพิกัดของ  $O_n$  ตามแนวแกน  $z_{n-1}$

$\alpha_n$  คือ มุมระหว่างแกน  $z_{n+1}$  และแกน  $z_n$  โดยหมุนตามเข็มนาฬิกา รอบแกน  $x$  หรือมุมที่ห่อจากการตั้งฉากกับเส้น  $a_n$

$\theta_n$  คือ มุมระหว่างแกน  $x_n$  และแกน  $x_{n-1}$  โดยหมุนทวนเข็มนาฬิกา รอบแกน  $z_n$



รูปที่ 2.7 แสดงระบบพิกัดจุดต่อของแขนกลแต่ละจุดต่อจะมีกลุ่มของพิกัด ตัวแปรจะกำหนดตามวิธีของ Denavit - Hartenberg

เมื่อพิจารณารูปที่ 7 โครงสร้างการเคลื่อนไหวของแขนกลสามารถแยกได้ 2 ลักษณะคือ

1. การเคลื่อนที่ตามแนวแกน (Prismatic) โดยตัวแปรของการเคลื่อนที่นี้ คือ  $a_n$  และ  $d_n$
2. การหมุนของตัวเชื่อมต่อ (Revolute) โดยตัวแปรของการหมุนนี้คือ  $\alpha_n$  และ  $\theta_n$

ในการกำหนดระบบพิกัดของแขนกลแต่ละแขน สามารถใช้ทฤษฎีทางเรขาคณิตของ Denavit - Hartenberg ซึ่งเป็นการอธิบายการเปลี่ยนแปลงตำแหน่งของระบบพิกัด  $n$  มาอยู่ ณ ตำแหน่งของระบบพิกัด  $n+1$  โดยระบบพิกัดจะถูกกำหนดโดย การหมุนและการเปลี่ยนตำแหน่ง ทั้งนี้สิ่งที่จะต้องพิจารณาคือ

การหมุนรอบแกน  $z_n$  ด้วยมุมเท่ากับ  $\theta_n$

การเคลื่อนที่ไปตามแนวแกน  $z_n$  ด้วยระยะทางเท่ากับ  $d_n$

การเคลื่อนที่ไปตามแนวแกน  $x_{n+1} = x_n$  ด้วยระยะทางเท่ากับ  $a_n$

การหมุนรอบแกน  $x_{n+1}$  ด้วยมุมเท่ากับ  $\alpha_n$

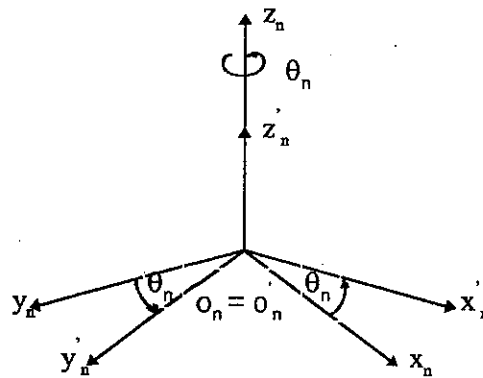
เมื่อนำมาแปลงรวม (Homogeneous Transformer) จากโครงสร้างระบบพิกัดของ  
แกน  $n$  ไปยังโครงสร้างระบบพิกัด  $n+1$  โดยเขียนในรูปของ matrix  $4 \times 4$  ได้ดังนี้

$${}_{n+1}^n A = \text{Rot}(z_n, \theta_n) * \text{Trans}(0, 0, d_n) * \text{Trans}(a_n, 0, 0) * \text{Rot}(x_n, \alpha_n)$$

โดยที่  ${}_{n+1}^n A$  คือ Homogeneous Transformer matrix จากแกน  $n$  ไปสู่แกน  $n+1$

เมื่อนำมาพิจารณาทีละขั้น ได้ดังนี้

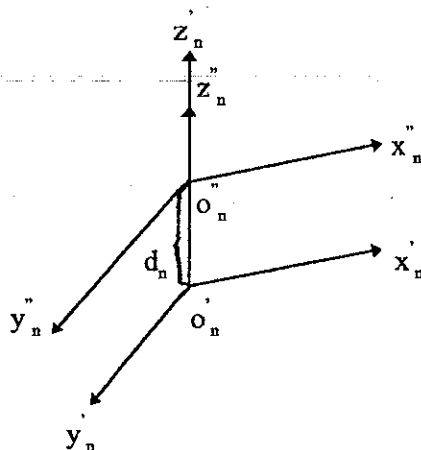
1. การหมุนรอบแกน  $z_n$  ด้วยมุมเท่ากับ  $\theta_n$



รูปที่ 2.8 การหมุนของ  $\theta_n$  รอบแกน  $z_n$

$$\text{Rot}(z_n, \theta_n) = \begin{bmatrix} \cos\theta_n & -\sin\theta_n & 0 & 0 \\ \sin\theta_n & \cos\theta_n & 0 & 0 \\ 0 & 0 & 1 & 0 \\ 0 & 0 & 0 & 1 \end{bmatrix}$$

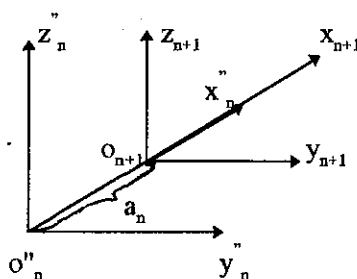
2. การเคลื่อนที่ไปตามแนวแกน  $z_n$  ด้วยระยะทางเท่ากับ  $d_n$



รูปที่ 2.9 เคลื่อนที่ไปตามแนวแกน  $z_n$  ด้วยระยะทาง  $d_n$

$$\text{Trans}(0,0,d_n) = \begin{bmatrix} 1 & 0 & 0 & 0 \\ 0 & 1 & 0 & 0 \\ 0 & 0 & 1 & d_n \\ 0 & 0 & 0 & 1 \end{bmatrix}$$

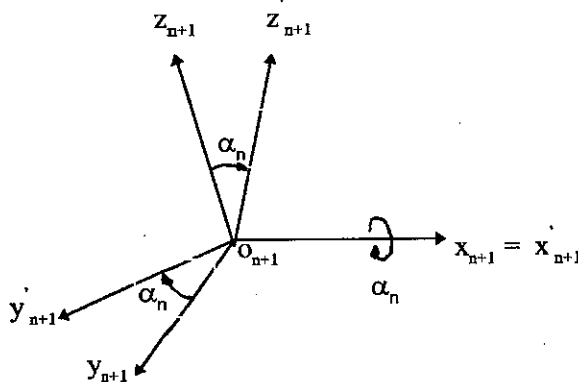
3. การเคลื่อนที่ไปตามแนวแกน  $x_{n+1}$  ด้วยระยะทางเท่ากับ  $a_n$



รูปที่ 2.10 เคลื่อนที่ไปตามแนวแกน  $x_{n+1}$  ด้วยระยะทาง  $a_n$

$$\text{Trans}(a_n, 0, 0) = \begin{bmatrix} 1 & 0 & 0 & a_n \\ 0 & 1 & 0 & 0 \\ 0 & 0 & 1 & 0 \\ 0 & 0 & 0 & 1 \end{bmatrix}$$

4. การหมุนรอบแกน  $x_{n+1}$  ด้วยมุมเท่ากับ  $\alpha_n$

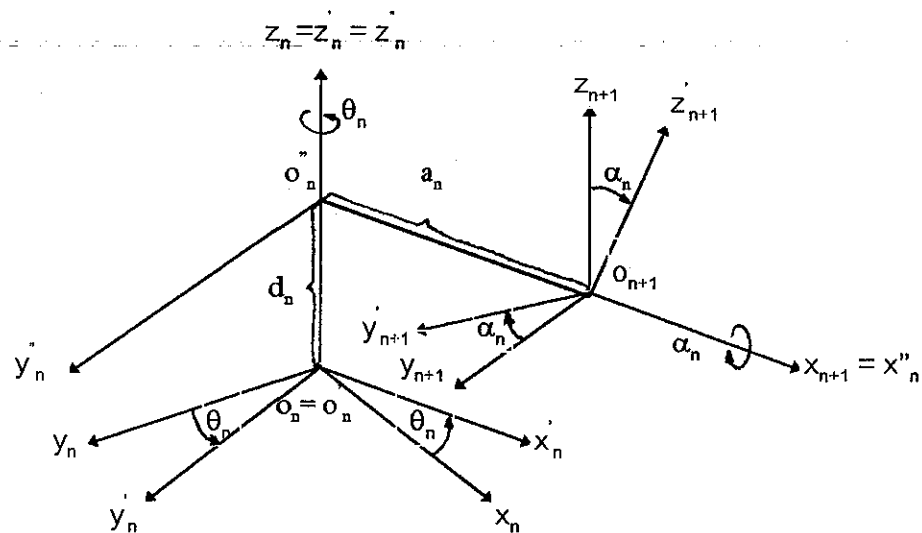


รูปที่ 2.11 การหมุน  $\alpha_n$  รอบแกน  $x_{n+1}$

$$\text{Rot}(x_n, \alpha_n) = \begin{bmatrix} 1 & 0 & 0 & 0 \\ 0 & \cos\alpha_n & -\sin\alpha_n & 0 \\ 0 & \sin\alpha_n & \cos\alpha_n & 0 \\ 0 & 0 & 0 & 1 \end{bmatrix}$$

ดังนั้นผลของการ Homogeneous Transformation matrix ระหว่างจุดเชื่อมต่อนี้

2 จุด



รูปที่ 2.12 ผลของการแปลงระหว่าง Joint<sub>n</sub> และ Joint<sub>n+1</sub>

$${}_{n+1}^n A = \begin{bmatrix} \cos\theta_n & -\sin\theta_n & 0 & 0 \\ \sin\theta_n & \cos\theta_n & 0 & 0 \\ 0 & 0 & 1 & 0 \\ 0 & 0 & 0 & 1 \end{bmatrix} * \begin{bmatrix} 1 & 0 & 0 & 0 \\ 0 & 1 & 0 & 0 \\ 0 & 0 & 1 & d_n \\ 0 & 0 & 0 & 1 \end{bmatrix} * \begin{bmatrix} 1 & 0 & 0 & a_n \\ 0 & 1 & 0 & 0 \\ 0 & 0 & 1 & 0 \\ 0 & 0 & 0 & 1 \end{bmatrix}$$

$$* \begin{bmatrix} 1 & 0 & 0 & 0 \\ 0 & \cos\alpha_n & -\sin\alpha_n & 0 \\ 0 & \sin\alpha_n & \cos\alpha_n & 0 \\ 0 & 0 & 0 & 1 \end{bmatrix}$$

$${}^{n+1}A^n = \begin{bmatrix} \cos\theta_n & -\sin\theta_n \cos\alpha_n & \sin\theta_n \sin\alpha_n & a_n \cos\theta_n \\ \sin\theta_n & \cos\theta_n \cos\alpha_n & -\cos\theta_n \sin\alpha_n & a_n \sin\theta_n \\ 0 & \sin\alpha_n & \cos\alpha_n & d_n \\ 0 & 0 & 0 & 1 \end{bmatrix}$$

จากสมการเมตริกซ์ 4x4 ที่ได้ สามารถแยกได้ 2 ลักษณะ คือ คอลัมน์ตั้งแต่ 1-3 จากทางซ้าย จะเป็นเมตริกซ์ ระหว่างจุดต่อ 2 จุด ใด ๆ ซึ่งจะเกิดการหมุนขึ้น คือ จะเกิด  $\theta_n$  หมุนรอบแกน  $z_n$  โดยจะสมมูลกับ  $z_n$  และ  $\alpha_n$  หมุนรอบแกน  $x_n$  โดยจะสมมูลกับ  $x_{n+1}$  ส่วนคอลัมน์ทางขวา ก็คือ ตำแหน่งของเวกเตอร์  $k$  ระหว่างจุด  $O_n$  กับ  $O_{n+1}$

## 2.5 การหมุนของระบบพิกัด (Rotation of Coordinate)

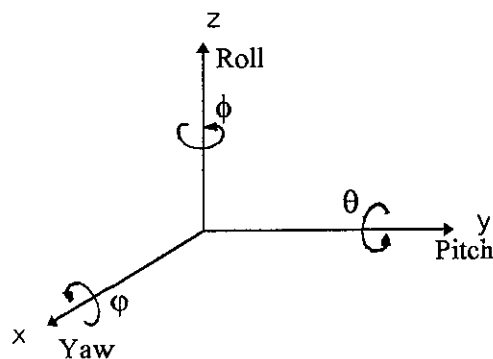
ลักษณะการหมุนโดยทั่วไปมี 3 ลักษณะ คือ

Roll ( $\phi$ ) เป็นการหมุนรอบแกน  $z$

Pitch ( $\theta$ ) เป็นการหมุนรอบแกน  $y$

Yaw ( $\varphi$ ) เป็นการหมุนรอบแกน  $x$

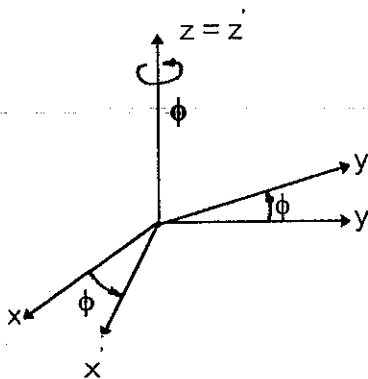
โดยที่  $\varphi, \theta, \phi$  คือ ความเร็วเชิงมุมรอบแกน  $x, y, z$  ตามลำดับ



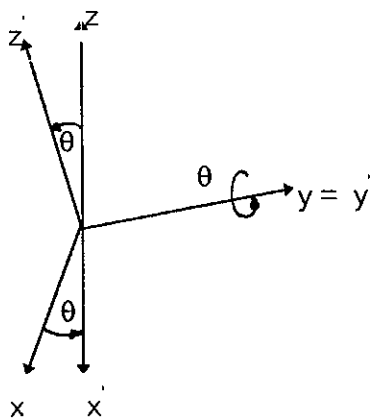
รูปที่ 2.13 แสดงการหมุนรอบแกนต่าง ๆ



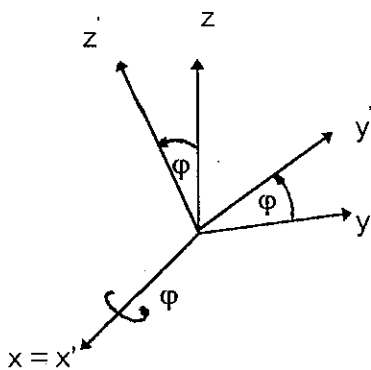
จากการหมุนในแต่ละแกนทำให้เกิดมุมของแกนที่เหลือซึ่งมุมจะเท่ากับความเร็วเชิงมุมของแกนหมุนนั้น ดังรูป



รูปที่ 2.14 แสดงการหมุนรอบแกน z



รูปที่ 2.15 แสดงการหมุนรอบแกน y



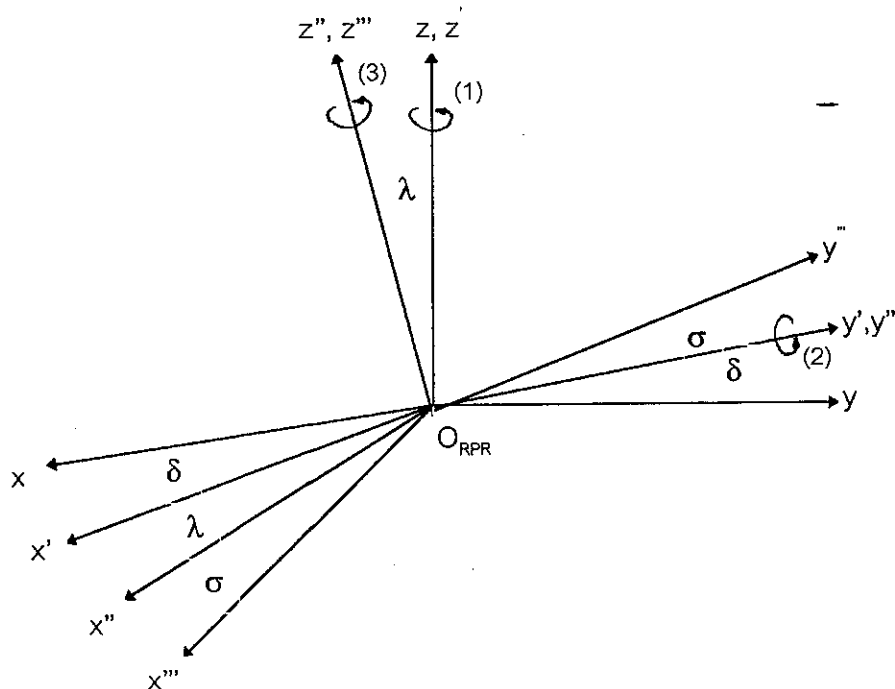
รูปที่ 2.16 แสดงการหมุนรอบแกน x

การหมุนในระบบพิกัด สามารถอธิบายในรูปของเมทริกซ์  $R$  ซึ่งเป็นเมทริกซ์  $3 \times 3$  ของ Homogeneous Transformation matrix ซึ่งลำดับการหมุนที่ใช้ในการประยุกต์ใช้กับ แขนกลอุตสาหกรรม มีอยู่ 3 ลักษณะ คือ

- roll - pitch - roll
- roll - pitch - yaw
- roll - yaw - roll

ในการอธิบายการหมุนรอบแกน  $x, y, z$  สามารถอธิบายในรูปของตัวแปรของมุม 3 ตัวแปร โดยการกำหนดมุมของวัตถุให้อยู่ในรูปของมุม ออยเลอร์ (Euler Angles) ที่เป็น สมการทางคณิตศาสตร์ คือ

1. Roll - Pitch - Roll  $R_{RPR}(\partial, \lambda, \sigma)$



รูปที่ 2.17 Euler angle  $R_{RPR}(\partial, \lambda, \sigma)$  สำหรับ Roll - Pitch - Roll

รูปแบบของ Roll - Pitch - Roll

Roll คือ การหมุนรอบแกน Z , ( $\theta$ )

Pitch คือ การหมุนรอบแกน Y' , ( $\lambda$ )

Roll คือ การหมุนรอบแกน Z'' , ( $\sigma$ )

พิจารณารูปที่ 17 ผลคูณของการหมุนในรูปของเมตริกซ์ คือ

$$R_{RPR}(\theta, \lambda, \sigma) = R_z(\theta) * R_{y'}(\lambda) * R_{z''}(\sigma)$$

$$R_z(\theta) = \begin{bmatrix} \cos\theta & -\sin\theta & 0 \\ \sin\theta & \cos\theta & 0 \\ 0 & 0 & 1 \end{bmatrix} \text{Roll}$$

$$R_{y'}(\lambda) = \begin{bmatrix} \cos\lambda & 0 & \sin\lambda \\ 0 & 1 & 0 \\ -\sin\lambda & 0 & \cos\lambda \end{bmatrix} \text{Pitch}$$

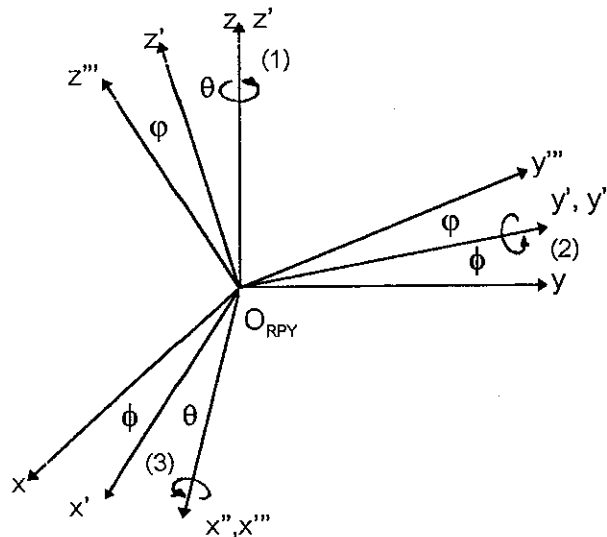
$$R_{z''}(\sigma) = \begin{bmatrix} \cos\sigma & -\sin\sigma & 0 \\ \sin\sigma & \cos\sigma & 0 \\ 0 & 0 & 1 \end{bmatrix} \text{Roll}$$

ดังนั้น ผลของการคูณจะได้

$$R_{RPR}(\theta, \lambda, \sigma) = \begin{bmatrix} \cos\theta \cos\lambda \cos\sigma - \sin\theta \sin\sigma & -\cos\theta \cos\lambda \sin\sigma - \sin\theta \cos\sigma & \cos\theta \sin\lambda \\ \sin\theta \cos\lambda \cos\sigma + \cos\theta \sin\sigma & -\sin\theta \cos\lambda \sin\sigma + \cos\theta \cos\sigma & \sin\theta \sin\lambda \\ -\sin\lambda \cos\sigma & \sin\lambda \sin\sigma & \cos\lambda \end{bmatrix}$$

ลักษณะเฉพาะของ Roll - Pitch - Roll คือ เมตริกซ์การหมุน  $R_{RPR}(\theta, \lambda, \sigma)$  จะใช้การไม่ได้เมื่อมุม  $\lambda$  มีค่าเท่ากับ  $0^\circ$  และ  $180^\circ$

## 2. Roll - Pitch - Yaw $R_{RPY}(\phi, \theta, \varphi)$



รูปที่ 2.18 Euler angles  $R_{RPY}(\phi, \theta, \varphi)$  สำหรับ Roll - Pitch - Yaw



รูปแบบของ Roll - Pitch - Yaw

Roll คือ การหมุนรอบแกน Z , ( $\phi$ )

Pitch คือ การหมุนรอบแกน Y' , ( $\theta$ )

Yaw คือ การหมุนรอบแกน X'' , ( $\varphi$ )

2/  
75  
217.4  
02239  
2546

พิจารณารูปที่ 18 ผลคูณของการหมุนในรูปของ เมทริกซ์ คือ

$$R_{RPY}(\phi, \theta, \varphi) = R_z(\phi) * R_{y'}(\theta) * R_{x''}(\varphi)$$

$$R_z(\phi) = \begin{bmatrix} \cos\phi & -\sin\phi & 0 \\ \sin\phi & \cos\phi & 0 \\ 0 & 0 & 1 \end{bmatrix}$$

Roll

$$R_{y'}(\theta) = \begin{bmatrix} \cos\theta & 0 & \sin\theta \\ 0 & 1 & 0 \\ -\sin\theta & 0 & \cos\theta \end{bmatrix}$$

Pitch

$$R_{x''}(\varphi) = \begin{bmatrix} 1 & 0 & 0 \\ 0 & \cos\varphi & -\sin\varphi \\ 0 & \sin\varphi & \cos\varphi \end{bmatrix}$$

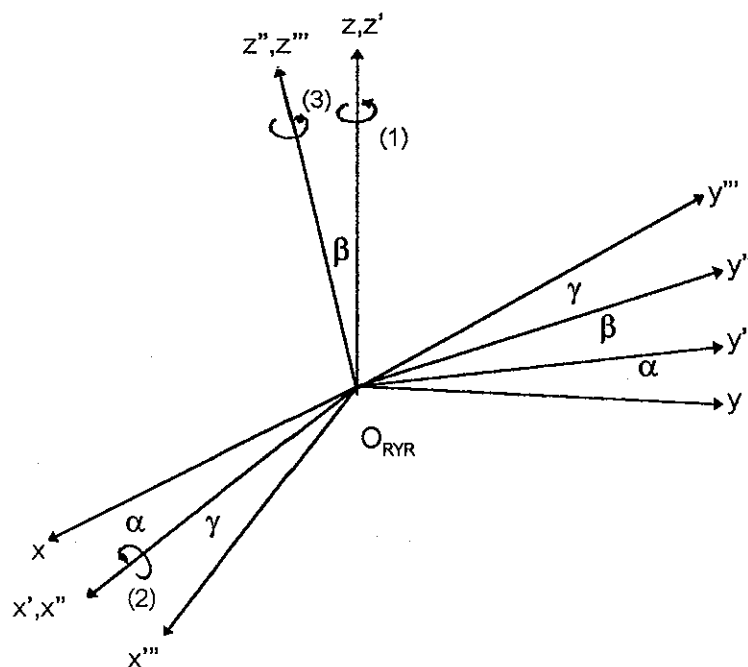
Yaw

ดังนั้น ผลของการคูณเมตริกซ์ จะได้

$$R_{RPY}(\phi, \theta, \varphi) = \begin{bmatrix} \cos\phi \cos\theta & \cos\phi \sin\theta \sin\varphi - \sin\phi \cos\varphi & \cos\phi \sin\theta \cos\varphi + \sin\phi \sin\varphi \\ \sin\phi \cos\theta & \sin\phi \sin\theta \sin\varphi + \cos\phi \cos\varphi & \sin\phi \sin\theta \cos\varphi - \cos\phi \sin\varphi \\ -\sin\theta & \cos\theta \sin\varphi & \cos\theta \cos\varphi \end{bmatrix}$$

ลักษณะเฉพาะของ Roll - Pitch - Yaw คือ เมตริกซ์การหมุน  $R_{RPY}(\phi, \theta, \varphi)$  จะใช้การไม่ได้เมื่อมุม  $\theta$  มีค่าเท่ากับ  $+90^\circ$  และ  $-90^\circ$

### 3. Roll - Yaw - Roll $R_{RYR}(\alpha, \beta, \gamma)$



รูปที่ 2.19 Euler angles  $R_{RYR}(\alpha, \beta, \gamma)$  สำหรับ Roll - Yaw - Roll

รูปแบบของ Roll - Yaw - Roll

Roll คือ การหมุนรอบแกน Z , ( $\alpha$ )

Yaw คือ การหมุนรอบแกน X' , ( $\beta$ )

Roll คือ การหมุนรอบแกน Z'' , ( $\gamma$ )

พิจารณารูปที่ 19 ผลคูณของการหมุนในรูปของ เมทริกซ์ คือ

$$R_{\text{RYR}}(\alpha, \beta, \gamma) = R_z(\alpha) * R_{x'}(\beta) * R_{z''}(\gamma)$$

$$R_z(\alpha) = \begin{bmatrix} \cos\alpha & -\sin\alpha & 0 \\ \sin\alpha & \cos\alpha & 0 \\ 0 & 0 & 1 \end{bmatrix}$$

Roll

$$R_{x'}(\beta) = \begin{bmatrix} 1 & 0 & 0 \\ 0 & \cos\beta & -\sin\beta \\ 0 & 0 & 1 \end{bmatrix}$$

Yaw

$$R_{z''}(\gamma) = \begin{bmatrix} \cos\gamma & -\sin\gamma & 0 \\ \sin\gamma & \cos\gamma & 0 \\ 0 & 0 & 1 \end{bmatrix}$$

Roll

ดังนั้น ผลของการคูณเมตริกซ์ จะได้

$$R_{RYR}(\alpha, \beta, \gamma) = \begin{bmatrix} \cos\alpha \cos\gamma - \sin\alpha \cos\beta \sin\gamma & -\cos\alpha \sin\gamma - \sin\alpha \cos\beta \cos\gamma & \sin\alpha \sin\beta \\ \sin\alpha \cos\gamma + \cos\alpha \cos\beta \sin\gamma & -\sin\alpha \sin\gamma + \cos\alpha \cos\beta \cos\gamma & -\cos\alpha \sin\beta \\ \sin\beta \sin\gamma & \sin\beta \cos\gamma & \cos\beta \end{bmatrix}$$

ลักษณะเฉพาะของ Roll - Yaw - Roll คือ เมตริกซ์การหมุน  $R_{RPY}(\phi, \theta, \phi)$  จะใช้การไม่ได้เมื่อมุม  $\beta$  มีค่าเท่ากับ  $0^\circ$  และ  $180^\circ$

## 2.6 การคำนวณ การเคลื่อนไหวกของหุ่นยนต์

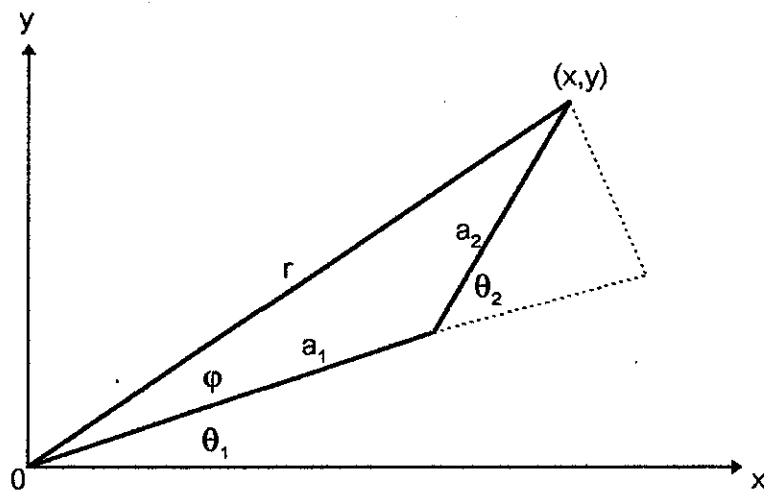
### (Determination kinematics of Robot)

การคำนวณ การเคลื่อนไหวกของหุ่นยนต์ (Determination kinematics of Robot) เป็นการหาสมการสำหรับการอธิบายการเคลื่อนที่ของหุ่นยนต์ โดยสมการนี้จะแสดงความสัมพันธ์ของการเคลื่อนที่ขององค์ประกอบต่าง ๆ คือ แขนของหุ่นยนต์ (Link) และ จุดต่อเชื่อมของแขนหรือจุดหมุน (Joint) ซึ่งในแต่ละองค์ประกอบจะขึ้นอยู่กับโครงสร้างของหุ่นยนต์ในแต่ละตัว โดยในการอธิบายการเคลื่อนที่ของหุ่นยนต์ จะใช้ Transformation metric และการหาสมการเพื่ออธิบายการเคลื่อนที่ สามารถหาได้ 2 ลักษณะ คือ Forward kinematics และ Inverse kinematics

2.6.1 Forward kinematics เป็นการวิเคราะห์การเคลื่อนที่ โดยเริ่มจากฐานไปสู่จุดปลายซึ่ง Transformation metric ที่ได้จะเป็นตัวแปลงจาก Robot coordinate ไปสู่ Cartesian coordinate  $x, y, z$  ซึ่งการ Forward kinematics ส่วนใหญ่จะใช้ในการป้อนกลับเพื่อค้นหาตำแหน่ง ในการคำนวณโดยการ Forward kinematics นี้จะใช้วิธีการ Transformation metric เพื่อหาลักษณะของการเคลื่อนไหวกของแต่ละแขนกล แล้วนำมาแสดงความสัมพันธ์ของแขนกลทั้งหมด ซึ่งจะทำได้ลักษณะของการเคลื่อนไหวกของหุ่นยนต์ที่สมบูรณ์



2.6.2 Inverse kinematics เป็นการวิเคราะห์การเคลื่อนที่ โดยเริ่มจากจุดปลายทาง  
มายังฐาน ซึ่งการ Inverse kinematics ส่วนใหญ่จะใช้ในการทำงานจริงของ  
หุ่นยนต์ เนื่องจากสามารถวิเคราะห์ เข้าใจได้ และสามารถเห็นผลได้ทันที  
ในการคำนวณโดยวิธีการ Inverse kinematics เมื่อพิจารณาจากรูปที่ 18 ซึ่ง  
เป็นลักษณะแขนกล 2-แขน



รูปที่ 2.20 แสดงการ Inverse kinematics ของแขนกล 2 แขน

เมื่อพิจารณาจากรูปจะได้

$$x = a_1 \cos \theta_1 + a_2 \cos(\theta_1 + \theta_2)$$

$$y = a_1 \sin \theta_1 + a_2 \sin(\theta_1 + \theta_2)$$

สามารถหา  $r$  ได้จาก  $r^2 = x^2 + y^2$

ดังนั้นจากกฎของ cosines ทำให้ได้

$$r^2 = a_1^2 + a_2^2 - 2a_1a_2 \cos(\pi - \theta_2)$$

$$= a_1^2 + a_2^2 + 2a_1a_2 \cos \theta_2$$

$$\cos \theta_2 = (r^2 - a_1^2 - a_2^2) / 2a_1a_2$$

$$\sin \theta_2 = \pm \sqrt{1 - \cos^2 \theta_2}$$

$$\theta_2 = \text{ATAN2}(\cos \theta_2, \sin \theta_2)$$

จาก  $\tan \varphi = (a_2 \sin \theta_2) / (a_1 + a_2 \cos \theta_2)$

$$\tan(\varphi + \theta_1) = y/x$$

ดังนั้นสามารถหา  $\theta_1$  ได้จาก

$$\theta_1 = \text{ATAN2}(x,y) - \text{ATAN2}(\sin \theta_2, a_1 + a_2 \cos \theta_2)$$